

599953

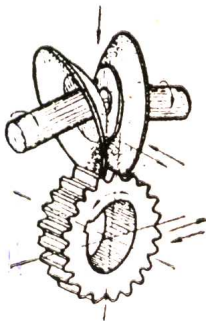
# 机械工人学习材料

JIXIE GONGREN XUEXI CAILIAO

## 球面蜗轮副加工

王恩泽 编著

轮工



机械工业出版社

**内容提要** 本书概述了球面蜗轮副的啮合原理以及对称修型的适用性。以对称修型加工为例，介绍和分析了机床的选择与调整、工装卡具的种类和使用、切削刀具的选择与刃磨、工艺参数的确定与规范。按加工流程逐一阐述了装卡、找正、粗切、精切、跑合、研齿、装配检验等工序的操作要点和技术要求，并推荐了典型工艺。书中还分析了加工过程中产生误差的原因，提出了消除办法和改进措施。

本书既有理论，又有操作实例。可供齿轮工学习使用，也可供车工、磨工、钳工学习参考。

## 球面蜗轮副加工

王恩泽 编著

责任编辑 应华炎

机械工业出版社出版(北京阜成门外百万庄南街一号)

(北京市书刊出版业营业登记证出字第117号)

中国农业机械出版社印刷厂印刷

新华书店北京发行所发行·新华书店经售

开本 787×1092 1/32 · 印张 4 · 字数 95 千字

1986年10月北京第一版 · 1986年10月北京第一次印刷

印数 0,001—3,200 · 定价 0.82 元

科技新书目：129-97

统一书号：15033 · 6376

# 目 次

一 球面蜗轮副概述 .....	1
1 传动特点(1)——2 齿型及啮合原理(3)——3 加工工艺 的发展(5)	
二 球面蜗轮副的全修形及其近似修形 .....	8
1 全修型球面蜗杆的修形特点(8)——2 全修型的近似 修形法(9)——3 对称修形法加工的要点(12)	
三 球面蜗轮副加工的工艺装备 .....	14
1 机床的选择(14)——2 机床的减速装置(19)——3 有 关刀架的常用尺寸(23)——4 刀台(25)——5 刀具 的种类、结构及其刃磨参数(27)——6 刀具的材料选 择及刃磨要点(51)	
四 球面蜗杆的加工 .....	54
1 毛坯准备及其加工(54)——2 在滚齿机上安装蜗杆(55) ——3 精车蜗杆圆弧面(62)——4 粗切蜗杆螺牙(64) ——5 精切蜗杆螺牙(75)——6 二次倒坡及其近似加工 方法(80)——7 蜗杆螺牙的光整加工(84)——8 球面蜗 杆的制造公差(86)——9 国外拉削蜗杆的工艺(88)	
五 球面蜗轮的加工 .....	91
1 球面蜗轮的齿坯准备(91)——2 将蜗轮在工作台上找 正把紧(92)——3 安装刀具并将刀杆调整定位(95) ——4 挂轮(98)——5 粗切蜗轮(98)——6 精切 蜗轮(100)——7 电解研齿新工艺(102)——8 球面 蜗轮制造公差(104)	
六 球面蜗轮副的质量检验及误差分析 .....	105
1 固定弦齿厚的检验(106)——2 啮合检验(107) 3 装配检验及其调整(108)——4 接触斑点的位置和 面积的检验(112)——5 装配检验规范(114) 6 误差分析及消除措施(116)	

## --- 球面蜗轮副概述

随着我国机械工业的发展，球面蜗轮副在传动机构中，逐渐为人们所熟知。它是蜗杆螺牙包容蜗轮齿较多的一种传动副。与普通蜗轮副比较，它传递功率大，构件重量轻，整机体积小。所以，在重型机械、矿山机械、航空、动力、汽车和船舶制造中，得到了越来越广泛的应用。

但是，球面蜗轮副是一种空间线接触曲面共轭副，传动原理和加工工艺，远比一般蜗轮副复杂，致使生产出来的球面蜗轮副，不容易达到设计指标。为了保证和提高球面蜗轮副的质量，必须了解球面蜗轮副的啮合原理，掌握它的加工工艺和装配工艺。

### 1 传动特点

一般的蜗轮副，蜗杆的节圆面是一个圆柱面。而球面蜗轮副，其蜗杆节圆面是一段圆弧绕蜗杆轴线  $O_1-O_1$  回转所得的圆弧回转体（见图 1）。因此，这种蜗杆俗称球面蜗杆，也叫曲面蜗杆或圆弧面蜗杆。

从图 1 可以看出，在中间平面内，蜗杆螺牙的剖面，是直线齿廓的弧形齿条，该齿条齿间两侧夹角为  $\alpha_1$ ，其延长线与蜗轮上半径为  $r_0$  的圆相切，该圆叫做形成圆。形成圆是切制蜗杆时装配刀具的主要依据，其半径  $r_0$  是加工的重要参数。

对各种蜗轮副分析的结果表明：圆柱形蜗杆和标准蜗轮副或修正蜗轮副，在啮合传动时，其接触线的方向，几乎与滑动速度的方向平行（见图 2 的 a 和 b）。这样就没有条件形成高压动力

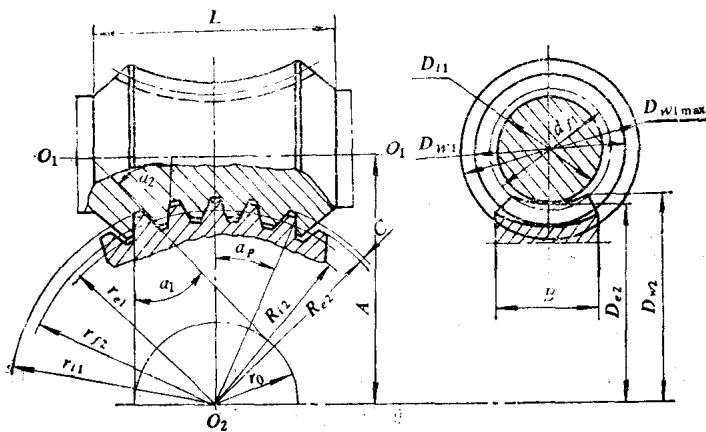


图1 球面蜗轮副传动啮合图

$r_0$ —形成圆半径  $C$ —齿顶间隙  $r_{e1}$ —中间平面内, 蜗杆齿顶圆半径  
 $r_{t1}$ —中间平面内, 蜗杆齿根圆半径  $L$ —沿螺牙根部度量的蜗杆长度  
 $D_w$ —中平面内蜗杆喉径  $D_{w\max}$ —蜗杆最大外径  $a_1$ —蜗杆齿槽的轮廓角  
 $a_2$ —中间平面内, 蜗杆包围蜗轮的工作半角  $d_1$ —在蜗杆喉部截面内,  
 蜗杆分度圆直径  $D_{t1}$ —在喉部截面内, 蜗杆齿根圆直径  $r_{t2}$ —中间平面内,  
 蜗轮分度圆半径  $D_{w2}$ —蜗轮最大直径  $R_{e2}$ —中间平面内, 蜗轮的齿顶圆半径  
 $R_{t2}$ —中间平面内, 蜗轮的齿根圆半径  $B$ —蜗轮的轮缘厚度  
 $a_2$ —蜗轮齿槽的轮廓角  $D_{e2}$ —中间平面内, 蜗轮的齿顶圆直径, 即喉径

油膜,造成了金属面直接接触的干磨擦,容易胶蚀剥伤,不宜承受重载。

球面蜗轮副与此相反,它在啮合传动中,接触线与滑动速度方向几乎垂直(图2c),而且成双线接触,在轮齿上有一个包络曲面共扼区——洼坑,这样,高压动力油膜易于形成,而且,同时啮合的齿数多,所以,球面蜗轮副磨损小,载荷大,抗冲击,使用寿命长。

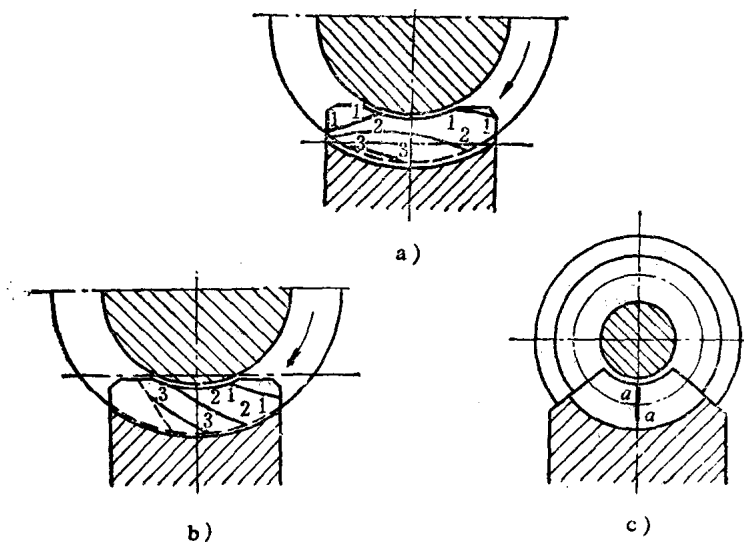


图2 蜗轮传动的接触线

a) 标准蜗轮副 b) 修正蜗轮副 c) 球面蜗轮副

## 2 齿型及啮合原理

从图3可见,与形成圆相切的刀具直线刃延长线,按图示运动关系,绕 $O_2$ 轴旋转,就可以切割出形成螺牙齿面的空间曲面。所以,直刃刀具及其延长线,就叫做蜗杆螺牙的母线。

通过大量的试验和研究,得出结论:与蜗杆螺牙齿面相对应的蜗轮齿面分为A B C三个区域(图4 a),其中A区和B区是蜗杆螺牙第一条母线运动的轨迹,为直纹曲面。它们分别处于轮齿进入啮合端和退

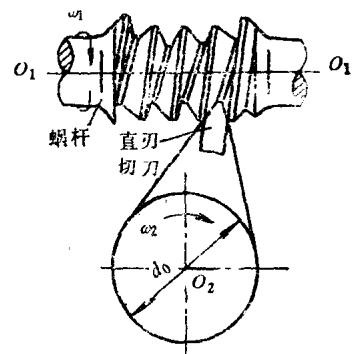


图3 球面蜗杆的母线

出啮合端，称其为切削表面。而C区是蜗杆螺牙相对于蜗轮轮齿运动时，共轭形成的表面，称其为共轭表面。共轭表面相对于切削表面是下凹的，该表面俗称洼坑。

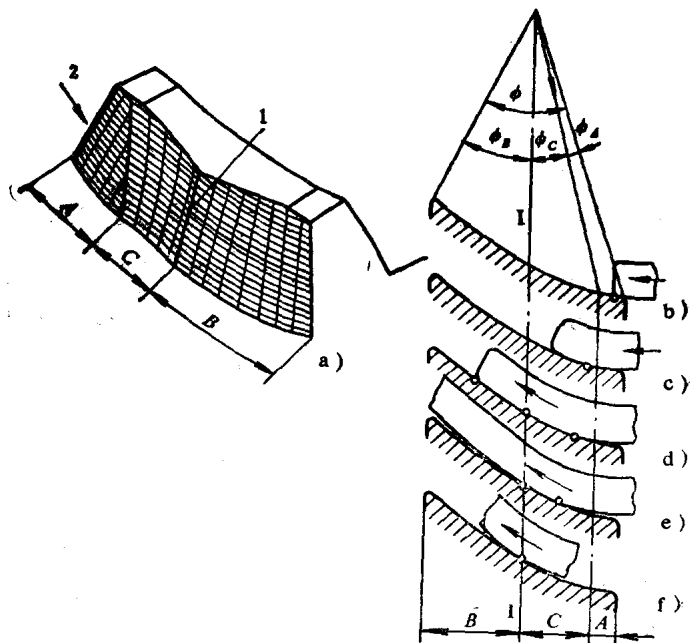


图4 球面蜗轮副啮合过程

a) 蜗轮齿型 b) ~f) 啮合时接触线的位置 1—转折线 2—啮合时螺牙的进入方向

通过图4，可以进一步分析球面蜗轮副的啮合过程。

当蜗杆螺牙进入啮合时，它的第一条母线，沿着轮齿的切削区A运动短暂的时间（图4 b），这时蜗杆转过角度 $\phi_A$ ， $\phi_A$ 约为几度。运动到洼坑C之后，第一条母线好像悬在它上面一样，悬空而不接触（图4 c），形成了一个楔形间隙，该间隙不断地向蜗杆

螺牙运动相反方向收缩。此时，接触线位于洼坑区内，靠进入啮合端，其分布几乎与螺牙运动方向相垂直。这样，就能在蜗轮齿面和蜗杆螺牙齿面之间，较多地保存润滑油，形成一个高压动力油膜。

再继续运动时，螺牙的第一条母线到达转折线  $I-I$ ，同时，接触线也从进入啮合端向转折线转移。通过转折线后，第一条母线沿着退出啮合端的切削区  $B$  滑动。而在轮齿上，最先出现了两条接触线，一条在转折线，另一条在向转折线靠拢的洼坑区(图 4 d)。

在  $\phi_B$  的角度里，蜗杆继续运转，此时，在轮齿上将有三条接触线，但是，螺牙第一条母线和切削区  $B$  的接触，基本上不承受任何载荷，所以实际上仍然是双线接触。继上述三线接触发生之后，蜗杆螺牙和轮齿表面沿两条线接触(图 4 e)。

在蜗轮的喉径处，假想有一个与蜗杆轴线相垂直并通过蜗轮轴线的中垂面。蜗轮轮齿从转过这一中垂面直至啮合终了，仅在转折线处有单线接触。处在洼坑区的另一条接触线，在轮齿转至中垂面前，逐渐向它靠拢，并和它相重合(图 4 f)。

实际传动负荷时，上述  $A$   $B$   $C$  三个区域是看不明显的。实验的结果是，蜗轮齿面的瞬时接触痕迹是分离的条纹(图 5)。位于进入啮合端的头两个轮齿 1 和 2 各有两条接触条纹；位于蜗杆喉径附近的轮齿 3 上，两条条纹融合成一条宽条纹；位于退出啮合端的轮齿 4，5，6，仅在它们中部转折处有窄的接触条纹。

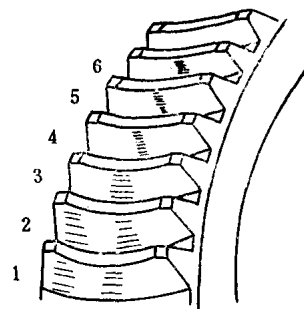


图5 蜗轮齿面瞬时啮合痕迹

### 3 加工工艺的发展

球面蜗轮副的加工，大体上经历了三个阶段：原始型、倒坡

修形和对称修形。

一、原始型：这种蜗轮副没有考虑油楔和修形，所以蜗杆进入啮合端在开始和蜗轮齿接触时，是相当紧密的，以致妨碍润滑油的渗入，并会在蜗杆的工作区造成极为不利的半干摩擦。所以，这种蜗轮副必须经过逐渐加载的长时间跑合，才能改善它的传动性能。总之，这种球面传动是不稳定的，不理想的。所以，它逐渐被倒坡修形的加工工艺所取代。

二、倒坡修形：就是在蜗杆螺牙的进入啮合端和退出啮合端切制倒坡，人为地削瘦齿形，以改善球面传动的啮合状态。蜗杆螺牙进入啮合端的倒坡，可以减少制造误差的影响，防止干涉，更主要的是可以改善进入啮合端的润滑条件。退出啮合端的倒坡，也能减少制造误差的影响。

但是倒坡修形加工，要进行四次机床的辅助调整，即蜗杆螺牙每个侧面各两次，这套工艺十分复杂。而且，倒坡后，沿蜗杆螺牙长度上有限的啮合，必须经过分级加载逐步跑合后才能使用，这样一来随着负载下跑合和实际使用，还会变成沿蜗杆螺牙全长啮合的全共轭传动，使螺牙的进入啮合端与退出啮合端，与轮齿齿面没有任何间隙，从而失去了形成油楔的条件。显然，这种加工工艺也不理想，现在我国大多数工厂，基本把它淘汰了。

三、对称修形加工：原始型球面蜗轮副的啮合是不稳定的，分析重载下长期使用，或在试验台上长期跑合之后蜗轮形状的改变，发现蜗轮轮齿的共轭区向两边扩大，特别是向转折线后边扩大，向轮齿齿面退出啮合端的切削区B过渡。经过一定时间之后，这种改变了的啮合的几何形状，保持稳定状态，不随蜗轮副的磨损而变化。这种蜗杆螺牙自然磨损的螺旋线与原始型的偏离曲线见图6。从图6可以看出，曲线2除了坡度特征之外，它在

蜗杆螺牙进入啮合端大大偏离了原始型，并且偏向蜗杆螺牙体内，在退出啮合端，也有较小程度的偏移。

于是，人们就用另一种加工的方法来保证螺牙螺旋线，使其具有曲线 2 的几何形状，这种加工方法叫做全修型加工。

全修型加工和原始型加工的主要区别，从啮合原理来看，就是共轭区 C 的不同。

从图 7 可以看出，全修型加工的轮齿上（图 7 a）。有深而宽的共轭区：深度为 0.21 毫米，宽度为 12 毫米，并且共轭区超过了转折线。而原始型加工轮齿的共轭区（图 7 b）又浅又窄，深度仅有 0.0135 毫米，宽度只有 5 毫米，并且偏在转折线一侧。毫无疑问，全修型加工的蜗轮副比原始型要优越得多。

目前，我国大都以对称修形加工来代替全修型加工，所以，

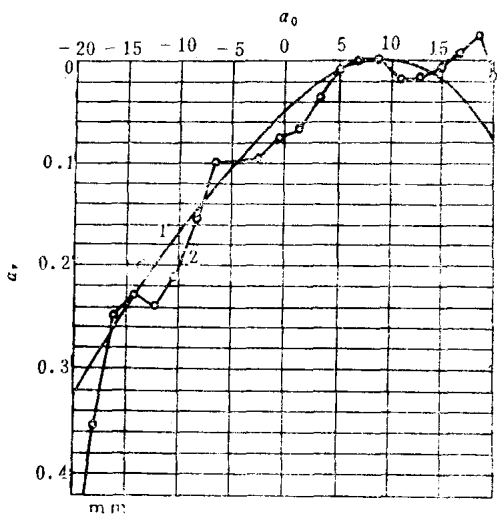


图6 蜗杆螺牙螺旋线对原始型的偏离曲线<sup>①</sup>  
(中心矩A=250 传动比i=38)

1—原始型切削后的曲线 2—在负载下跑合后的曲线

① 该曲线中  $\alpha_v$  和  $\alpha_0$  的含义： $\alpha_0$  表示蜗杆齿面上各点相对于喉部为起点所对的蜗轮中心角，从喉部中点 0 计量。当计量方向同蜗杆由啮入端到啮出端方向一致时， $\alpha_0$  取正值，反之取负值。 $\alpha_v$  表示蜗杆齿面位于蜗轮分度圆上各点的磨损量。

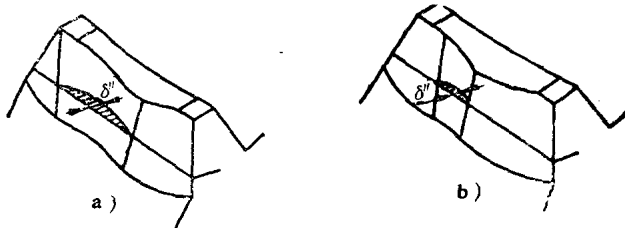


图7 全修型与原始型的轮齿共轭区 ( $A=150, i=30$ )  
a) 全修型轮齿共轭区 b) 原始型轮齿共轭区

对称修形加工是目前和今后一段长时间内，加工球面蜗轮副的主要方法。

## 二 球面蜗轮副的全修形及其近似修形

球面蜗轮副的加工，说到底，就是蜗杆螺牙及蜗轮轮齿的切削方法，以及它们的修形方法。加工工艺的发展主要是修形方法的发展，提高球面蜗轮副传动质量的重要途径就是选择最先进的修形方法。因此，我们必须掌握全修形球面蜗杆的修形特点，及其近似修形法。在近似修形法中要掌握对称修形加工的要点。

### 1 全修型球面蜗杆的修形特点

人们对在试车台上长期跑合，或者长期使用的蜗杆，进行了大量的数据测量，然后进行统计计算，得出结论：蜗杆螺牙的修形曲线，是一条自然磨损曲线，近似为二次抛物线。该曲线的极值点位于距蜗杆工作始点  $1.4\alpha_p$  的螺牙上，蜗杆的工作始点和蜗杆的中垂面相距  $\alpha_p$ 。全修型蜗杆的修形曲线方程可用下式表示：

$$\alpha_\phi = C \left( 0.3 \sim 0.7 \frac{\psi}{\alpha_p} \right)^2$$

其图象如图8所示。公式中， $\psi$ 为蜗杆螺牙母线的角坐标。

也就是在蜗轮的中间平面内，中心距连线为一条边，蜗轮中心与蜗轮分度圆上的螺旋线对应点的连线为另一条边，这两边所夹的中心角。其取值为 $-\alpha_p \leq \psi \leq \alpha_p$ ，在蜗杆进入啮合端取 $\alpha_p$ 为负，在退出啮合端取 $\alpha_p$ 为正。

$a$ 为蜗杆螺牙起始点的修形量，它是中心距 $A$ 和传动比 $i$ 的函数， $a = (0.0003 + 0.000034i) A$ 。

$\alpha_p$ 为蜗杆包围蜗轮的工作半角。

$V_c$ 为蜗杆螺牙进入啮合的方向。

要想获得符合上述条件的修形曲线，必须采取不同于原始型加工的全修型加工工艺。

全修型加工的切削原理：当蜗杆毛坯以等速回转时，刀具不是等速回转，而是变速回转，和切刀转速的改变相对应的蜗杆螺牙的角齿距也改变；当切刀的转速比切削原始型蜗杆下降时，蜗杆螺牙的角齿距比原始型的减小。而当其增加时，角齿距就比原始型的增大。这样，就能得到变角齿距的蜗杆，其修形曲线符合二次抛物线方程。这样切出的蜗杆，就是全修型蜗杆。

## 2 全修型的近似修形法

为了排除全修型加工的复杂性，人们探索到了一种全修型的近似修形法。这种方法不用修形机构，不改变机床—工件—刀具等工艺系统的刚性，只是事先改变机床的调整参数，改变刀具安装参数的计算。具体说来，就是在加工中，使切刀在传动中平面偏移；改变中心距；使刀具沿蜗杆轴线移动等等。采取这些工艺手段能得到与全修型加工极为近似的效果，得到一条近似的，实

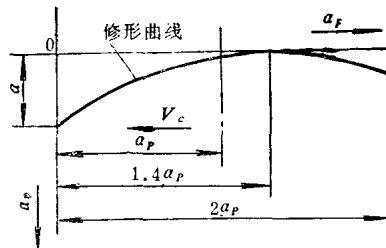


图8 全修型蜗杆的修形曲线

际上是足够精确的蜗杆螺牙全修型修形曲线。因此，这种近似的加工方法可以代替全修型加工方法。

为了弄清这个问题，我们必须分析一下，在近似加工方法中，调整参数单一变化时，对修形曲线的影响（见图9）。

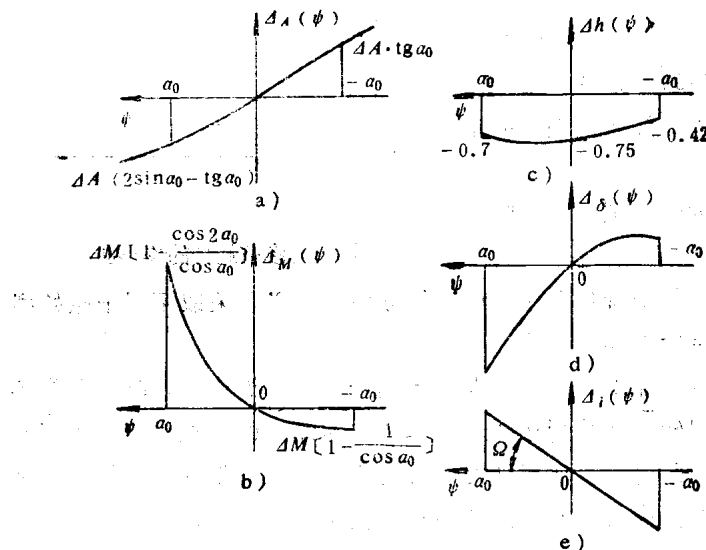


图9 调整参数单一变化时的修形曲线

- a) 中心距变化时( $\Delta A$ )； b) 蜗杆轴向移动时( $\Delta M$ )； c) 刀具切刃由传动的中间平面升降时( $\Delta h$ )； d) 切刃旋转平面对传动中平面水平转动时( $\Delta \delta$ )；  
e) 按不同于传动比的假想传动比来调整机床分齿链时( $\Delta i$ )。

从上面的图形可以看出，a)～e)五种调整参数单一变化或偏差时，都不能得出与全修型修形曲线相一致的修形规律。但是，同时变化上述某几项调整偏差，就可以得到复合的修形规律，而且，它与全修型修形曲线相接近，这种加工方法，叫做复合近似修形法。

复合近似修形法有两种：一种是非对称修形法；另一种是对称修形法。

一、非对称修形法：在复合近似修形法中，同时调整 $\Delta M$ 和 $\Delta h$ ，或其中之一，这种方法就叫做非对称修形法。这是因为蜗杆两侧螺旋面的修形效果是不对称的。也就是说，与蜗杆喉部等距的螺牙相异侧表面的各对应点，按这种方法修形，当移动 $\Delta A$ 时，所得到的修形量是不同的。

为了在螺牙相异两侧得到同样的修形量，采用非对称修形法加工时，必须两次调整机床。粗加工时，绝对不许采用非对称修形法，因为在螺牙相异侧面引起的偏差值不同，结果，在两侧留下的加工余量相差很大。

鉴于非对称修形法的上述情况，在一般的加工工艺中，很少有人采用它。

二、对称修形法：在上面所讨论的各种修形方法中， $\Delta A$ 、 $\Delta i$ 和 $\Delta \delta$ 给出了对称的修形规律。人们把只调整 $\Delta A$ 、 $\Delta i$ 和 $\Delta \delta$ 的复合近似修形法叫做对称修形法。这是因为，蜗杆两侧螺旋面的修形效果是对称的。这种情况的出现，是由于当移动 $\Delta A$ 时，距蜗杆喉部等距的螺牙相异侧面的对应点所得到的偏差是相同的。

采用对称修形法，只要一次调整机床，就可以同时加工出蜗杆螺牙的两侧面，而且具有足够的精度。这种加工方法可以用于粗加工，也可以用于精加工，调整方便，精度可靠。所以，大多数工厂都采用对称修形法来加工球面蜗轮副。

对称修形加工和全修型加工相比较，其近似的程度和误差大小可通过图10来进行分析。图10给出了 $A = 150$ 毫米， $i = 59$ ，以及入口端修形量 $a = 0.35$ 毫米的全修型计算曲线，以及实际加工的曲线，实际加工时，粗加工和精加工都是根据 $\Delta A = 11.57$ ， $i_4 = 64$ ， $d_{o4} = 104.64$ 的对称修形法加工的。在螺牙的两侧面，其加工的

实际值与全修型理论计算值，误差均不超过0.04毫米（见图10），这是完全允许的。就是说，对称修形法加工，近似于全修型加工的精度，是足够高的。两者的误差很小。所以，对称修形加工完全可以满足传动要求。由此

看来，对称修形法不仅是当前球面蜗轮副的主要修形方法，而且，展望今后，它仍然有生命力。因此，我们必须深入学习它，并熟练掌握它。

### 3 对称修形法加工的要点

对称修形法加工，要求操作工人必须掌握四项参数及其调整：

- (1) 在滚齿机上按假想挂轮齿数比 $i_s$ 挂轮；
- (2) 按增大了的中心距 $A_s = A + \Delta A$ 调整机床；
- (3) 按假想的形成圆 $d_{s*}$ 来安装调整刀具；
- (4) 按修形后的喉径螺牙法向弦齿厚 $s_s$ 加工成活。

除了上述四项参数及其调整以外，切削加工就和加工原始型蜗杆一样简单，不需要再对机床进行调整。

为了方便操作工人和检验人员验收，工艺技术人员往往在设计图纸的基础上，重新绘出对称修形加工工艺简图作为工艺规程。简图中必须标出对称修形加工的四项主要参数（见图11）。当调整机床时和加工完毕后，四项主要参数应交检验员检验。

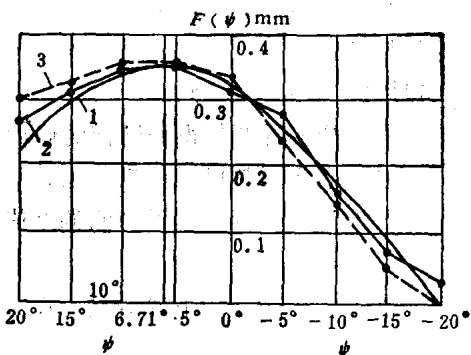


图10 修形曲线的比较

1—全修型计算曲线 2—实际加工的螺牙右侧  
曲线 3—实际加工的螺牙左侧曲线

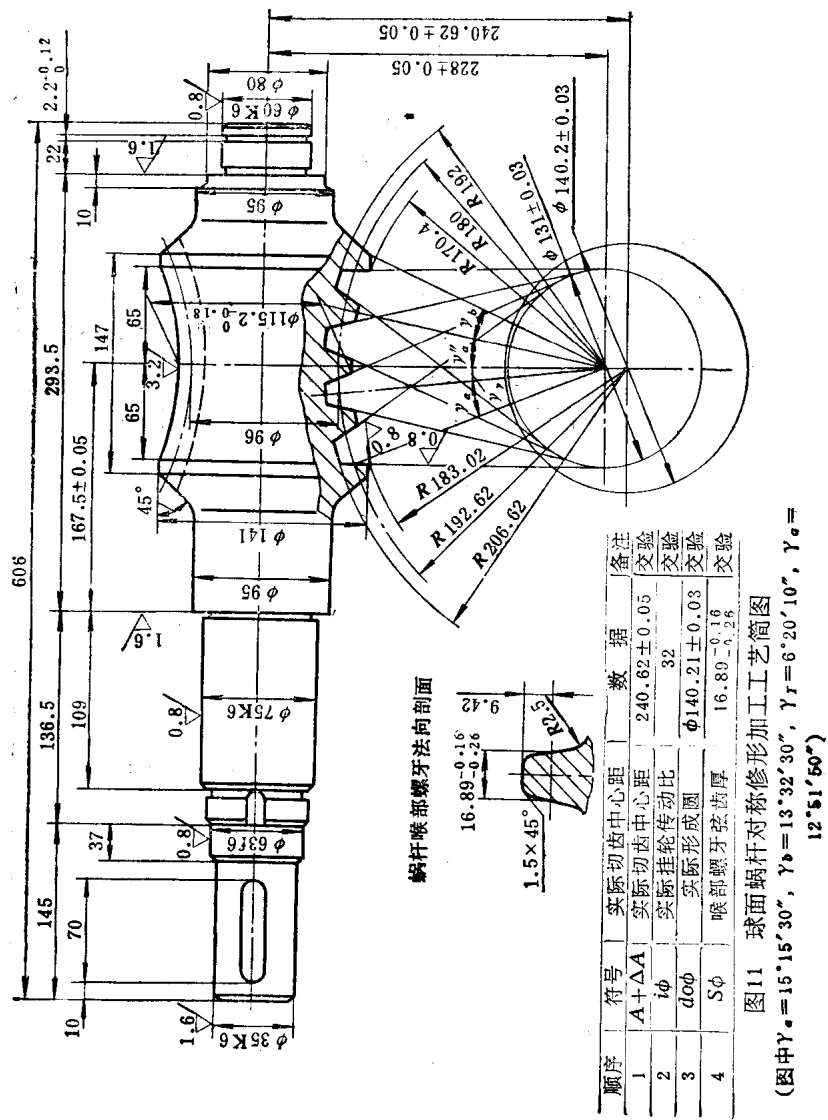


图11 球面蜗杆对称修形加工工艺简图

(图中  $\gamma_a = 16^\circ 15' 30''$ ,  $\gamma_b = 13^\circ 32' 36''$ ,  $\gamma_r = 6^\circ 20' 10''$ ,  $\gamma_o = 12^\circ 51' 50''$ )

### 三 球面蜗轮副加工的工艺装备

球面蜗轮副是一种特殊的球面传动装置。它有独特的参数和区别于一般蜗轮副的加工要求，所以在制造中，必须有相应的工艺装备，诸如切削机床、刀台、刀具、样板和量具等。

#### 1 机床的选择

一、加工球面蜗轮副的机床，必须具备如下几个条件：

- (1) 具有两个互相垂直的主旋转运动，即刀杆绕水平轴的回转运动和工作台大盘绕垂直轴的回转运动；
- (2) 传动链具有较好的刚性，特别是刀架的刚性要好，不允许有大的冲击和振动；
- (3) 具有较高的几何精度和传动精度；
- (4) 具有分度链和差动链；
- (5) 刀架能够横向移动。

满足上述条件的机床，是具有切向刀架的滚齿机。单件小批生产和专业化批量生产时，其机床的选择是不同的。

二、单件小批生产的机床选择：单件小批生产时，一般都采用带切向刀架的通用滚齿机，蜗轮和蜗杆在同一台滚齿机上加工成活。

一般是按模数大小选择滚齿机，所选机床是否合适，主要看蜗杆毛坯能否在机床刀架中安装；还要考虑工作台大盘直径、切削力、中心距等参数。通常按蜗轮副的模数和中心距大小选择规格不同的滚齿机。

当模数  $m \leq 6$ ，中心距  $A \leq 240$  时，可选用 J315G 滚齿机，它带有切向进给刀架，无支架时最大加工直径  $D = 1500$  毫米，加工最大模数  $m_{max} = 10$ ，刀架尺寸、切削功率及各项参数，完全满足